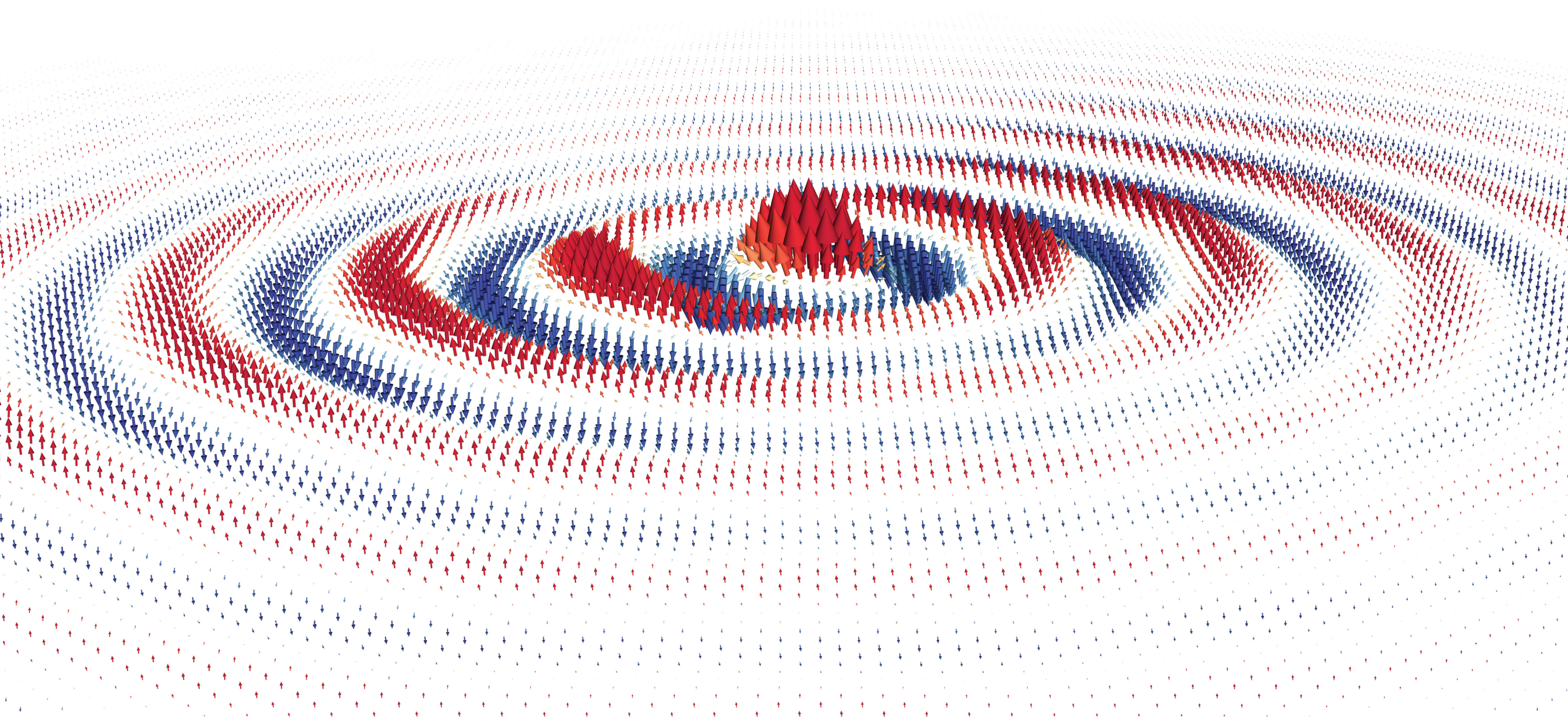




2023

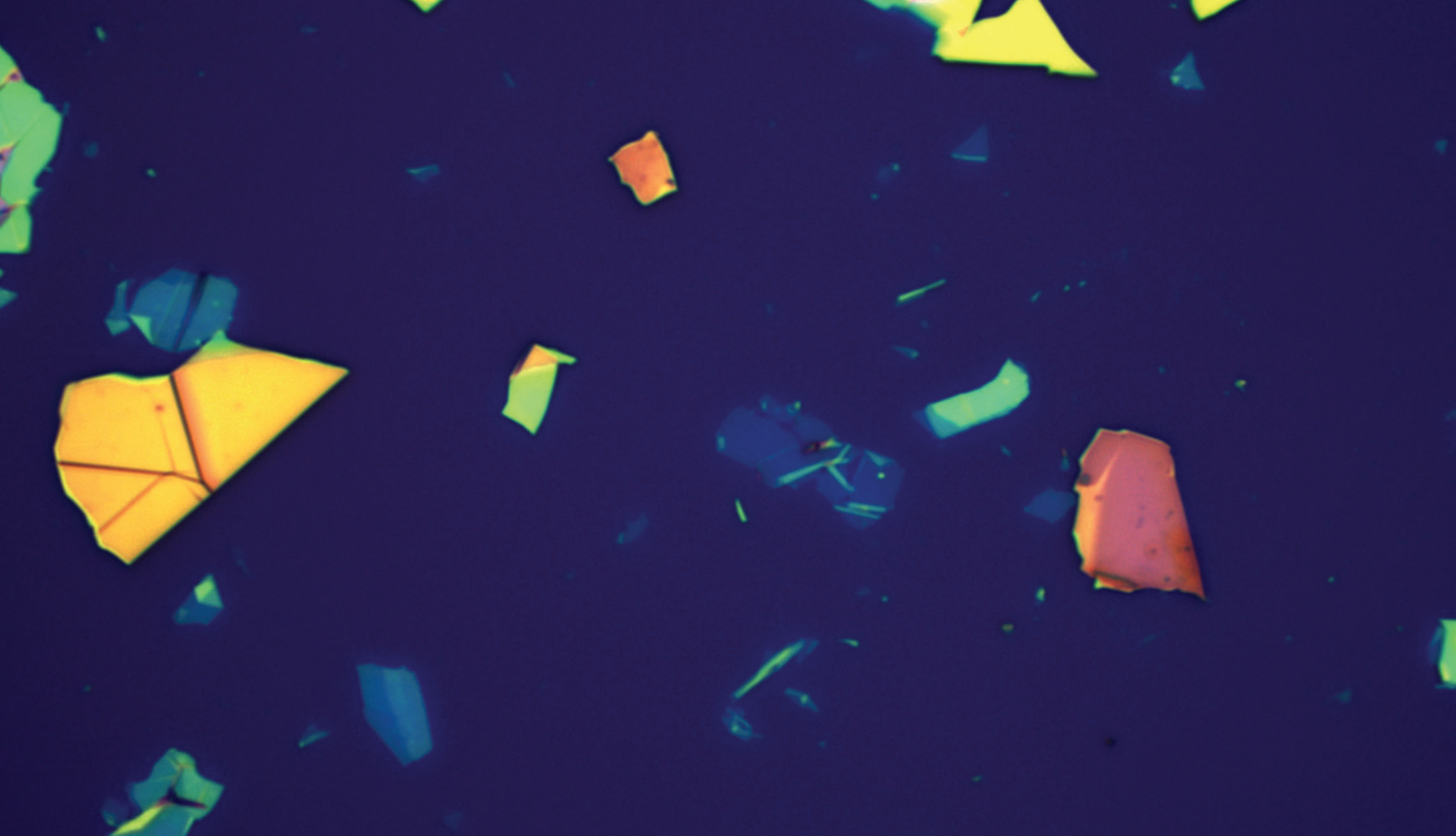
SFB 1242
Nichtgleichgewichtsdynamik kondensierter Materie in der Zeitdomäne





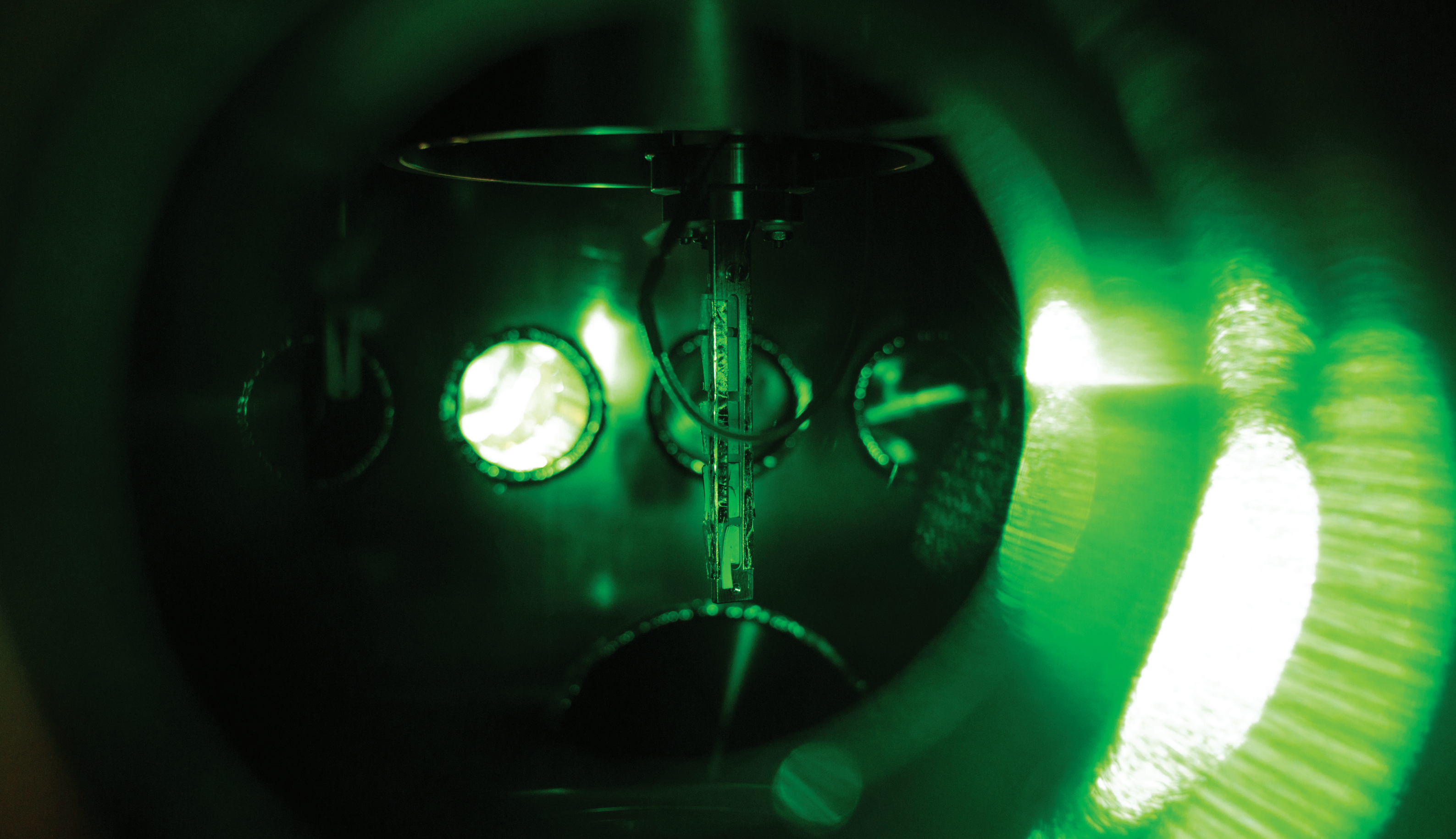
Januar

So	Mo	Di	Mi	Do	Fr	Sa	So	Mo	Di	Mi	Do	Fr	Sa	So	Mo	Di	Mi	Do	Fr	Sa	So	Mo	Di	Mi	Do	Fr	Sa	So	Mo	Di
1	2	3	4	5	6	7	8	9	10	11	12	13	14	15	16	17	18	19	20	21	22	23	24	25	26	27	28	29	30	31



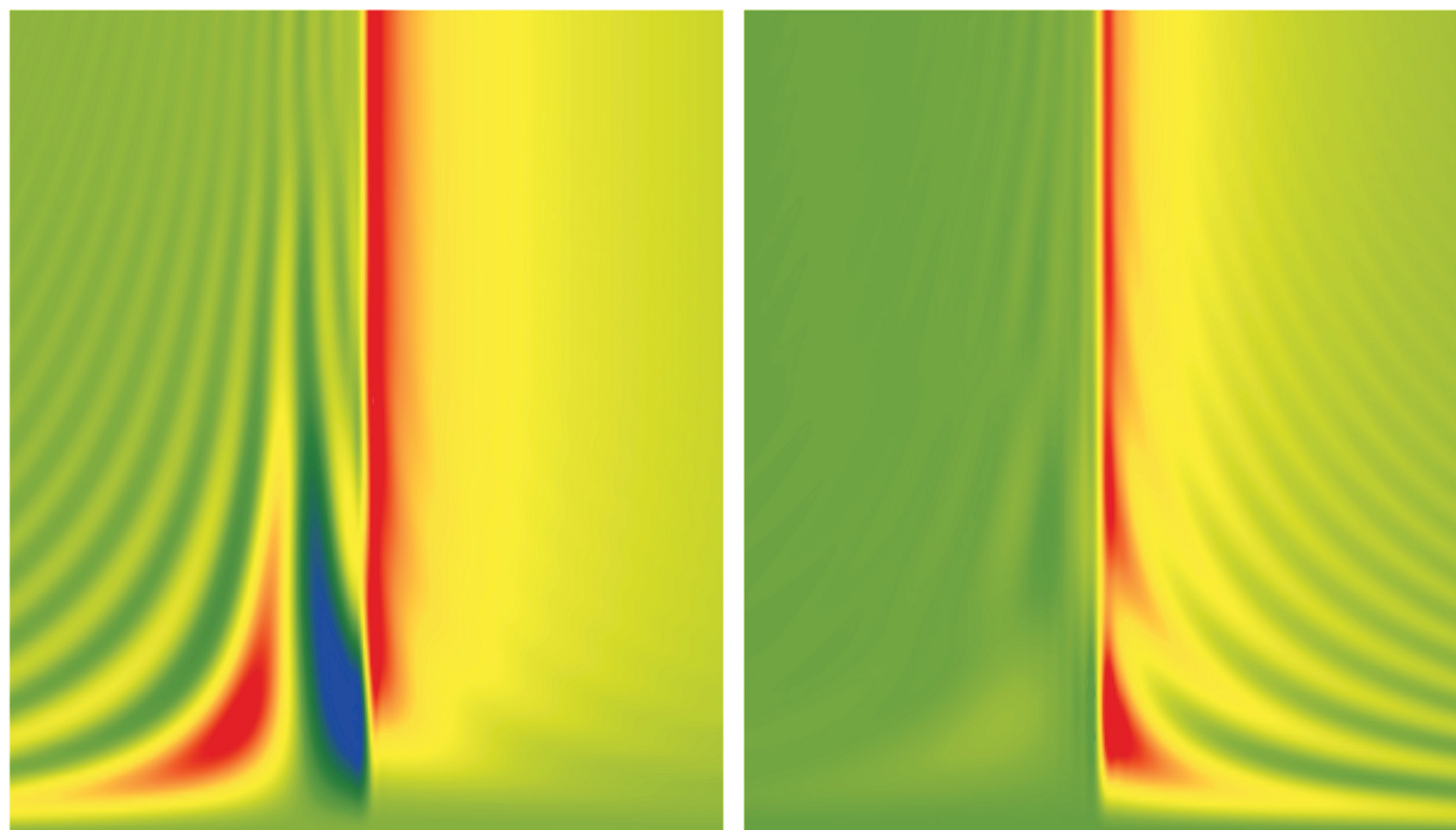
Februar

Mi	Do	Fr	Sa	So	Mo	Di	Mi	Do	Fr	Sa	So	Mo	Di	Mi	Do	Fr	Sa	So	Mo	Di	Mi	Do	Fr	Sa	So	Mo	Di
1	2	3	4	5	6	7	8	9	10	11	12	13	14	15	16	17	18	19	20	21	22	23	24	25	26	27	28



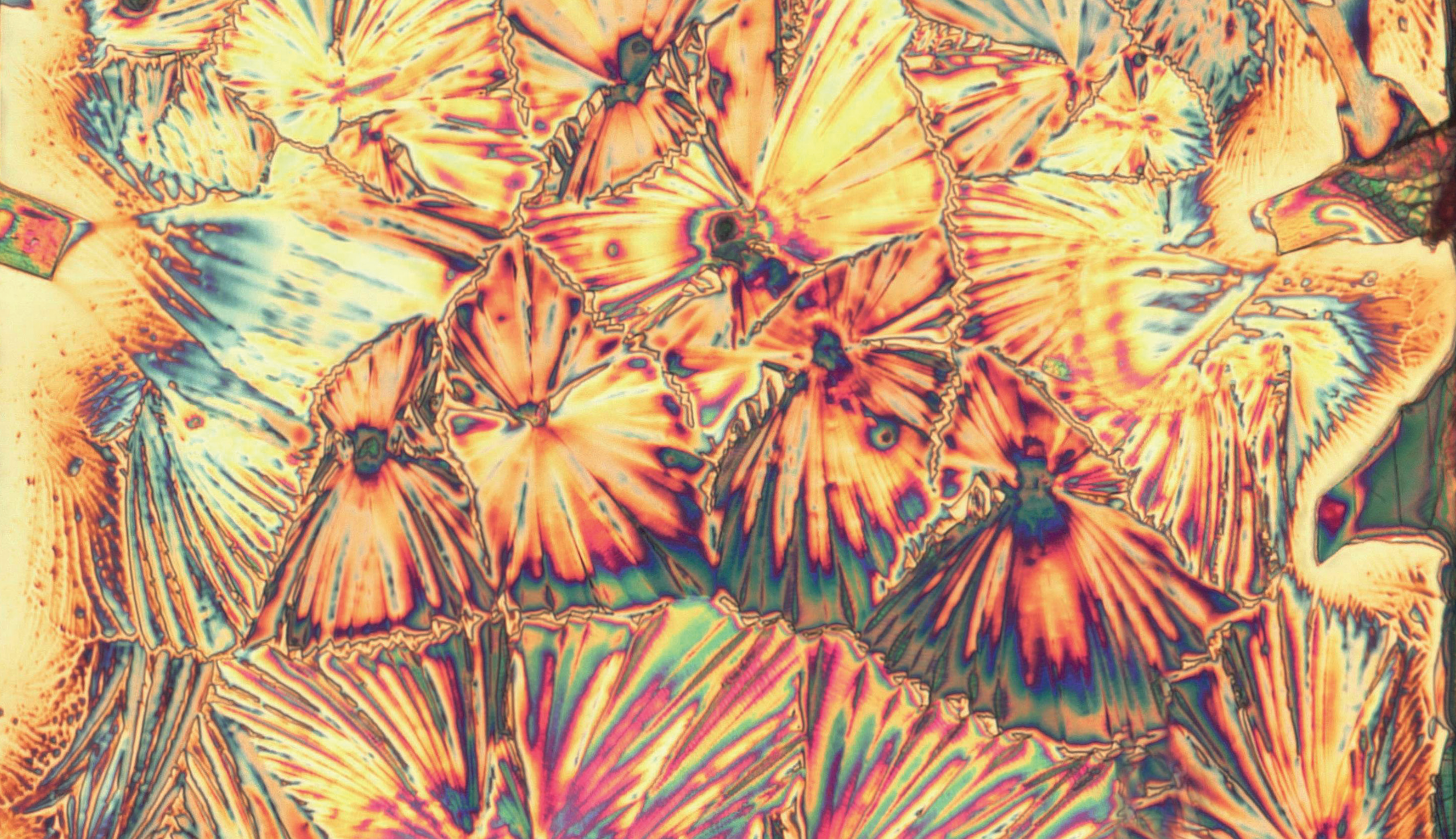
März

Mi	Do	Fr	Sa	So	Mo	Di	Mi	Do	Fr	Sa	So	Mo	Di	Mi	Do	Fr	Sa	So	Mo	Di	Mi	Do	Fr	Sa	So	Mo	Di	Mi	Do	Fr
1	2	3	4	5	6	7	8	9	10	11	12	13	14	15	16	17	18	19	20	21	22	23	24	25	26	27	28	29	30	31



April

Sa	So	Mo	Di	Mi	Do	Fr	Sa	So	Mo	Di	Mi	Do	Fr	Sa	So	Mo	Di	Mi	Do	Fr	Sa	So	Mo	Di	Mi	Do	Fr	Sa	So
1	2	3	4	5	6	7	8	9	10	11	12	13	14	15	16	17	18	19	20	21	22	23	24	25	26	27	28	29	30



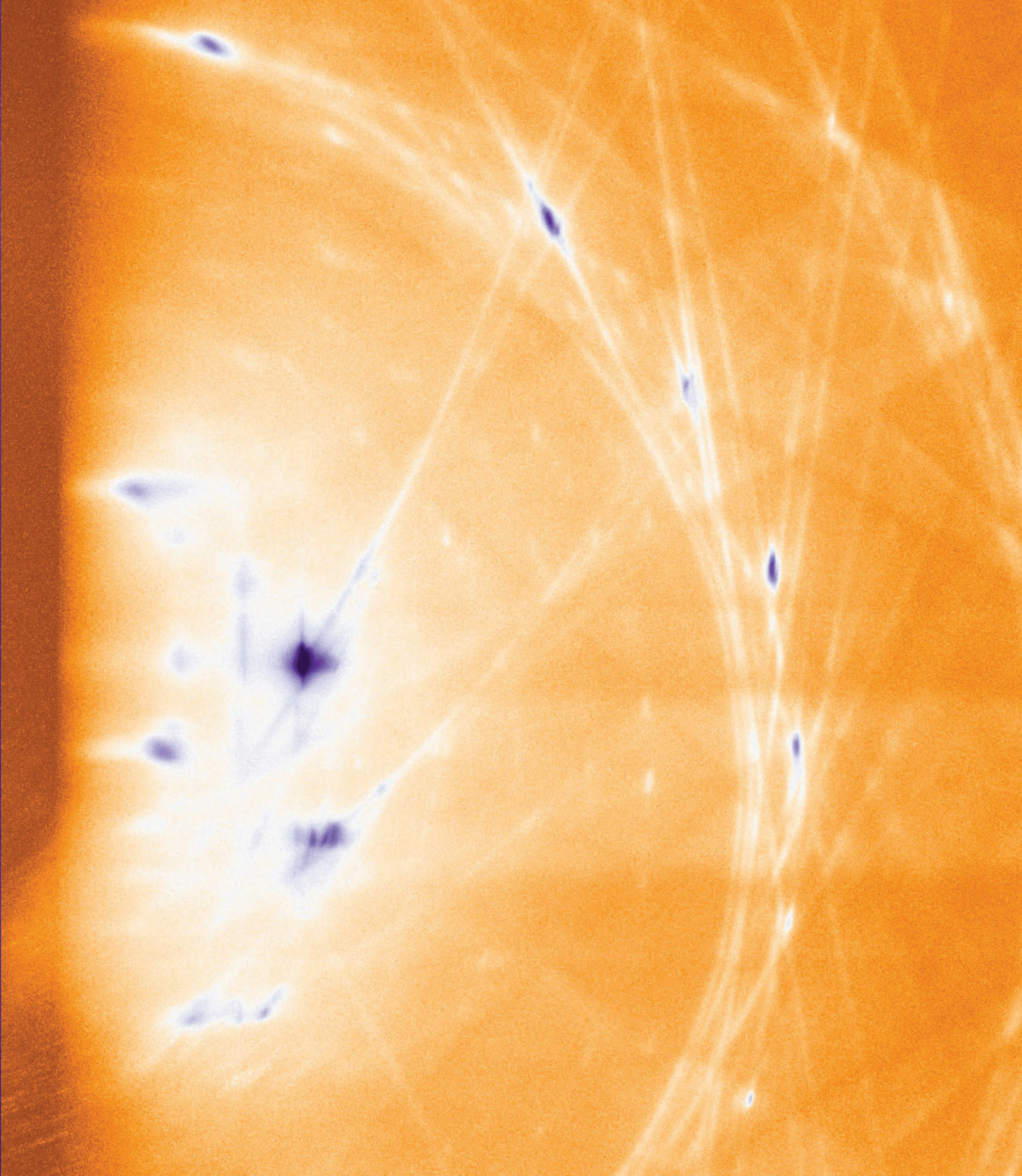
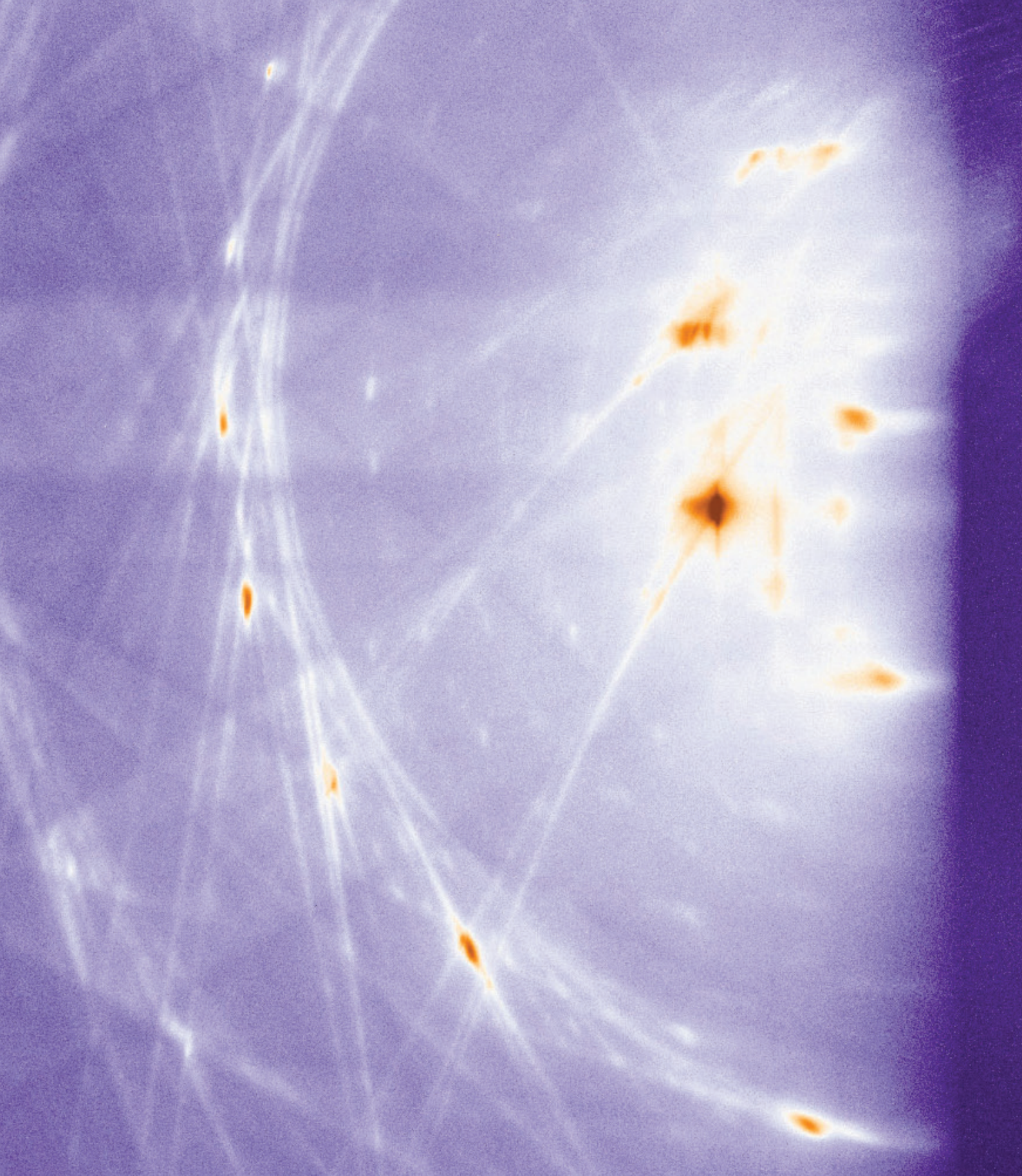
Mai

Mo	Di	Mi	Do	Fr	Sa	So	Mo	Di	Mi	Do	Fr	Sa	So	Mo	Di	Mi	Do	Fr	Sa	So	Mo	Di	Mi	Do	Fr	Sa	So	Mo	Di	Mi
1	2	3	4	5	6	7	8	9	10	11	12	13	14	15	16	17	18	19	20	21	22	23	24	25	26	27	28	29	30	31



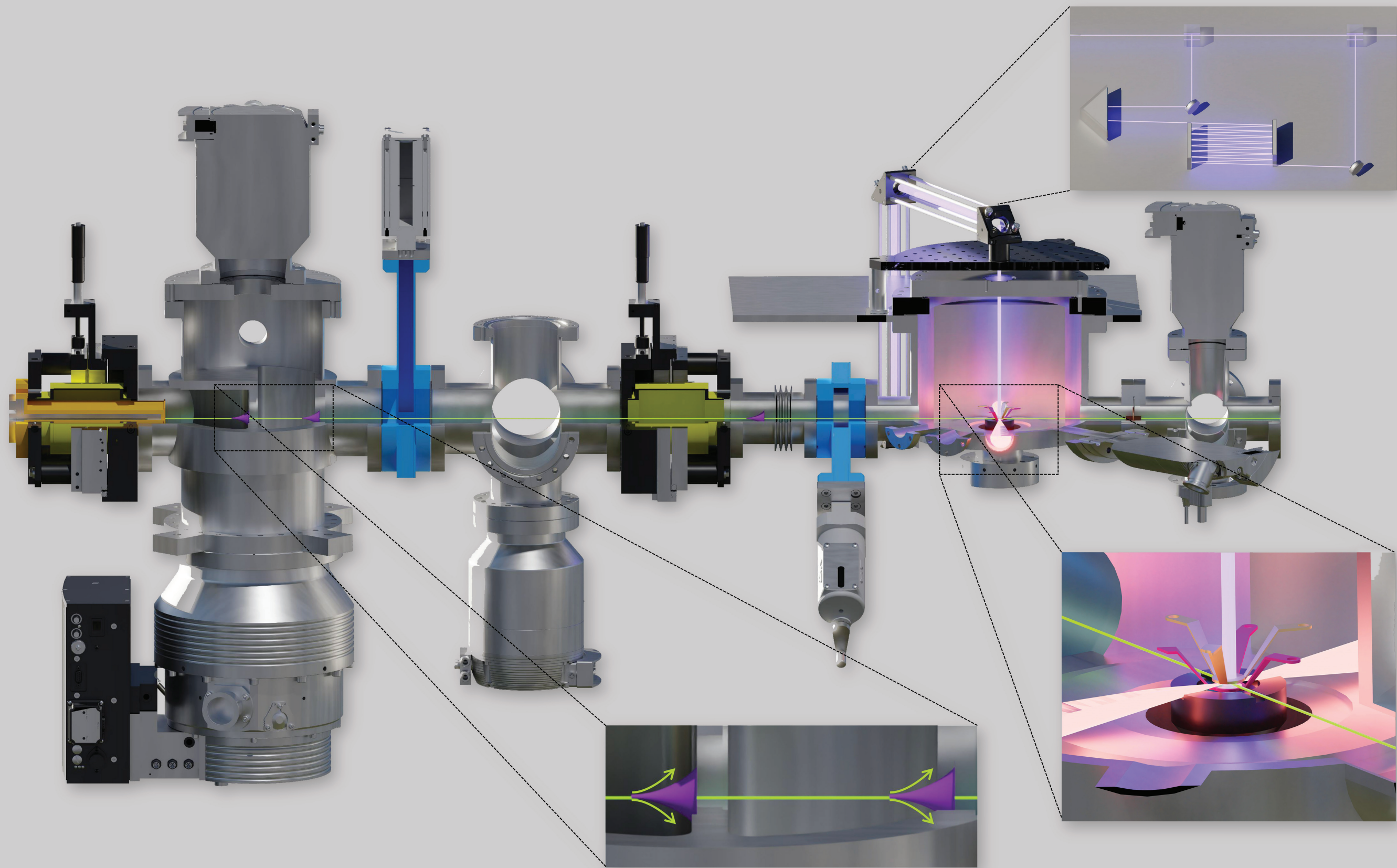
Juni

Do	Fr	Sa	So	Mo	Di	Mi	Do	Fr	Sa	So	Mo	Di	Mi	Do	Fr	Sa	So	Mo	Di	Mi	Do	Fr	Sa	So	Mo	Di	Mi	Do	Fr
1	2	3	4	5	6	7	8	9	10	11	12	13	14	15	16	17	18	19	20	21	22	23	24	25	26	27	28	29	30



Juli

Sa	So	Mo	Di	Mi	Do	Fr	Sa	So	Mo	Di	Mi	Do	Fr	Sa	So	Mo	Di	Mi	Do	Fr	Sa	So	Mo	Di	Mi	Do	Fr	Sa	So	Mo
1	2	3	4	5	6	7	8	9	10	11	12	13	14	15	16	17	18	19	20	21	22	23	24	25	26	27	28	29	30	31



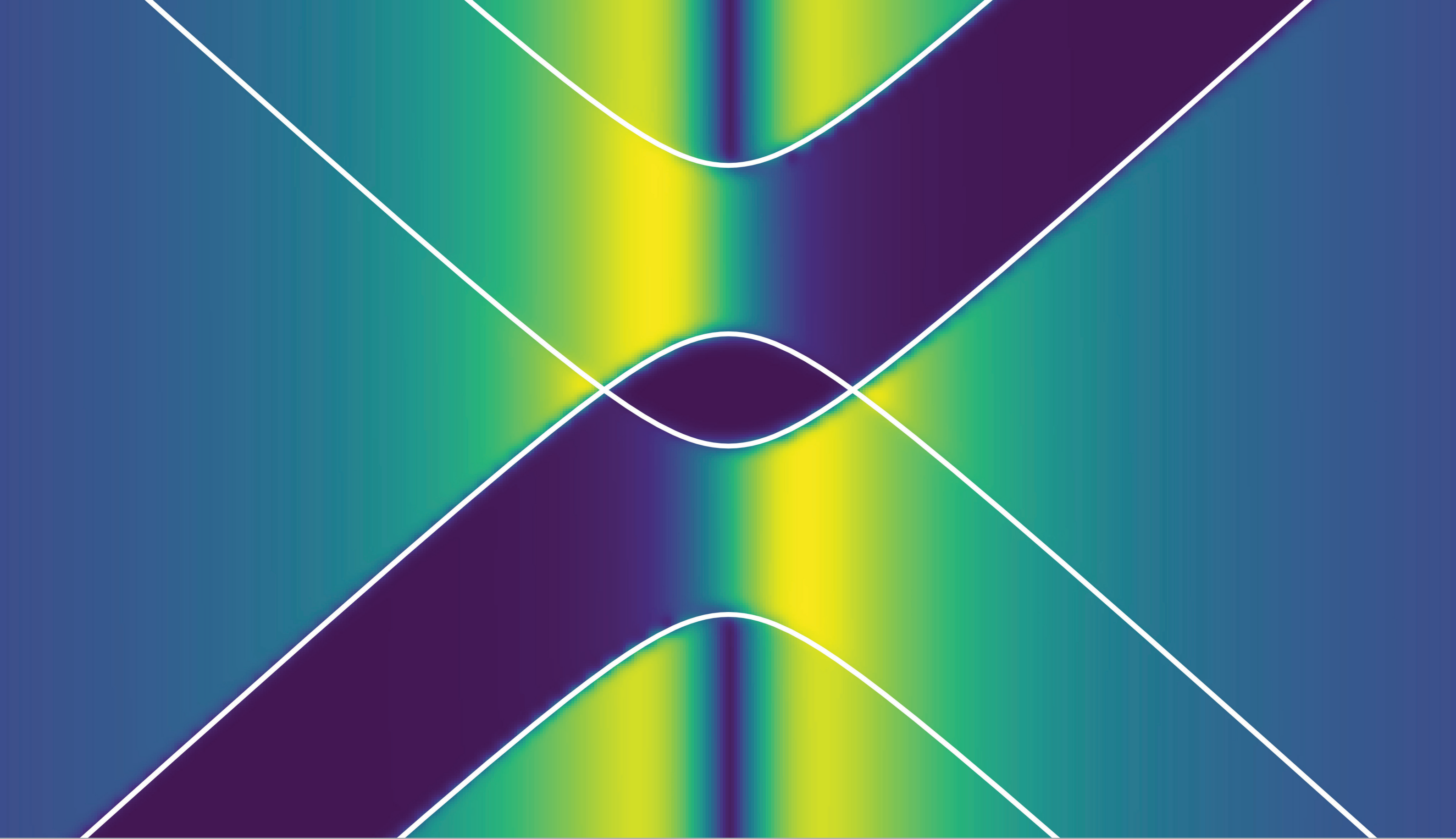
August

Di	Mi	Do	Fr	Sa	So	Mo	Di	Mi	Do	Fr	Sa	So	Mo	Di	Mi	Do	Fr	Sa	So	Mo	Di	Mi	Do	Fr	Sa	So	Mo	Di	Mi	Do
1	2	3	4	5	6	7	8	9	10	11	12	13	14	15	16	17	18	19	20	21	22	23	24	25	26	27	28	29	30	31



September

Fr	Sa	So	Mo	Di	Mi	Do	Fr	Sa	So	Mo	Di	Mi	Do	Fr	Sa	So	Mo	Di	Mi	Do	Fr	Sa	So	Mo	Di	Mi	Do	Fr	Sa
1	2	3	4	5	6	7	8	9	10	11	12	13	14	15	16	17	18	19	20	21	22	23	24	25	26	27	28	29	30

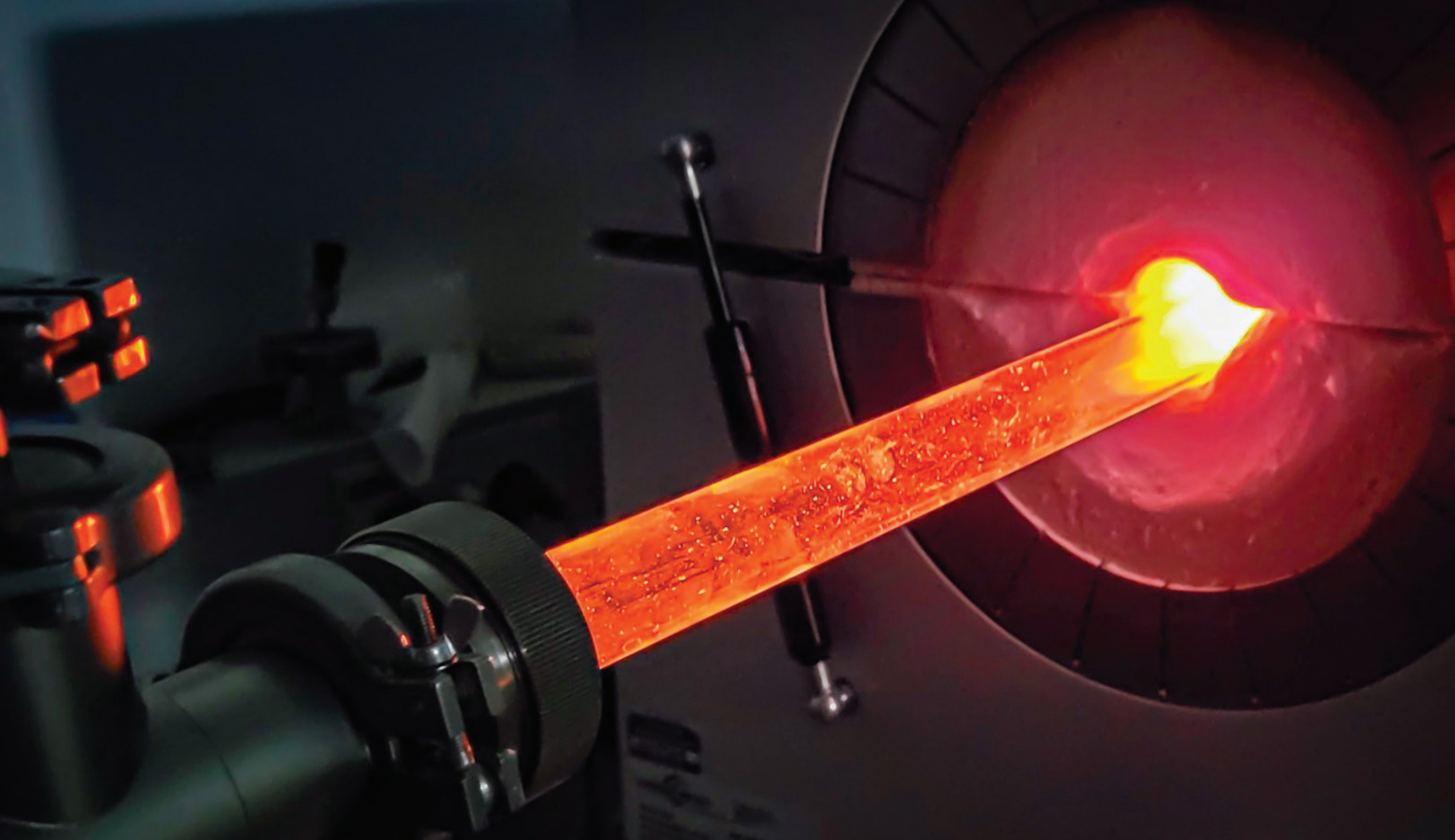


Oktober

So	Mo	Di	Mi	Do	Fr	Sa	So	Mo	Di	Mi	Do	Fr	Sa	So	Mo	Di	Mi	Do	Fr	Sa	So	Mo	Di	Mi	Do	Fr	Sa	So	Mo	Di
1	2	3	4	5	6	7	8	9	10	11	12	13	14	15	16	17	18	19	20	21	22	23	24	25	26	27	28	29	30	31

November

Mi	Do	Fr	Sa	So	Mo	Di	Mi	Do	Fr	Sa	So	Mo	Di	Mi	Do	Fr	Sa	So	Mo	Di	Mi	Do	Fr	Sa	So	Mo	Di	Mi	Do
1	2	3	4	5	6	7	8	9	10	11	12	13	14	15	16	17	18	19	20	21	22	23	24	25	26	27	28	29	30



Dezember

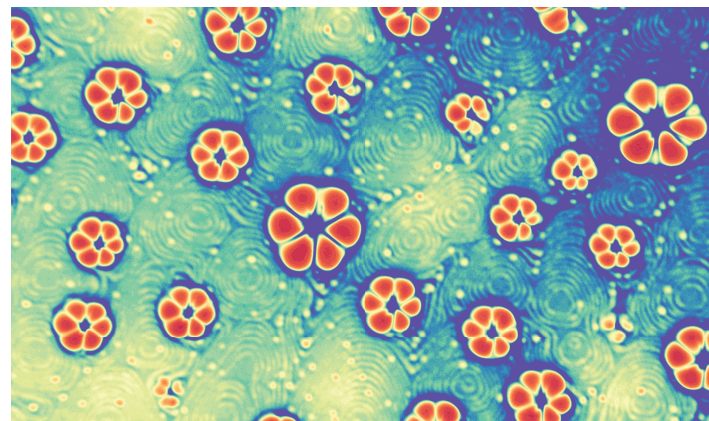
Fr	Sa	So	Mo	Di	Mi	Do	Fr	Sa	So	Mo	Di	Mi	Do	Fr	Sa	So	Mo	Di	Mi	Do	Fr	Sa	So	Mo	Di	Mi	Do	Fr	Sa	So
1	2	3	4	5	6	7	8	9	10	11	12	13	14	15	16	17	18	19	20	21	22	23	24	25	26	27	28	29	30	31



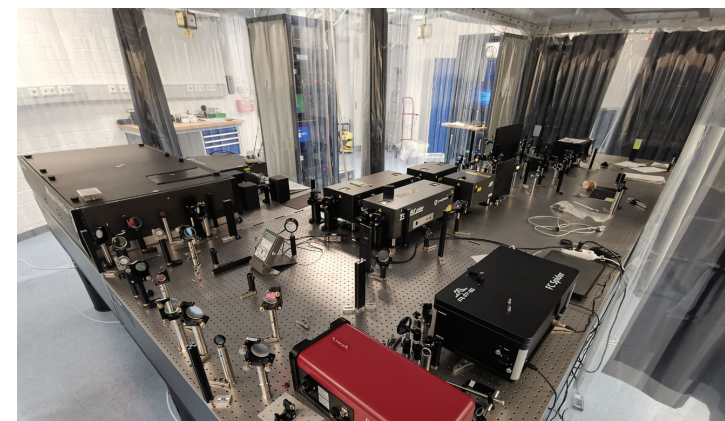
AG Bovensiepen, Ping Zhou
Laser-Puls im Fernfeld, modifiziert durch die Änderungen im Brechungsindex, den der Laserpuls hervorgerufen hat.



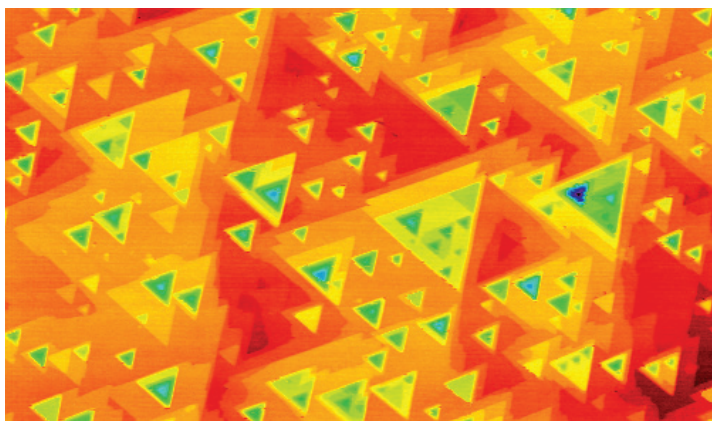
AG Lorke/TPÖ, UDE/eventfotograf.in
In einer Kindervorlesung werden die Welleneigenschaften des Lichts mit Hilfe einer La Ola-Welle im Publikum erklärt. Wissenschaft begeistert!



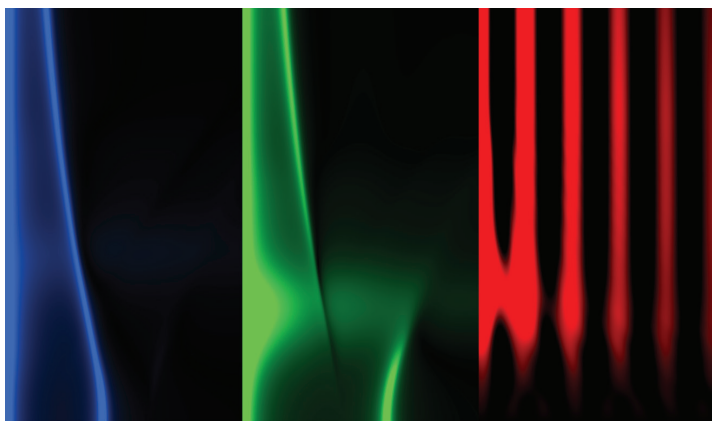
AG Meyer zu Heringdorf, Pascal Dreher
Gold (111)-Oberfläche, aufgenommen in unserem niederenergetischen Elektronenmikroskop. Auf der Goldoberfläche gab es kleine „Hügelchen“, die in Falschfarbendarstellung wie kleine Frühlingsblumen aussehen.



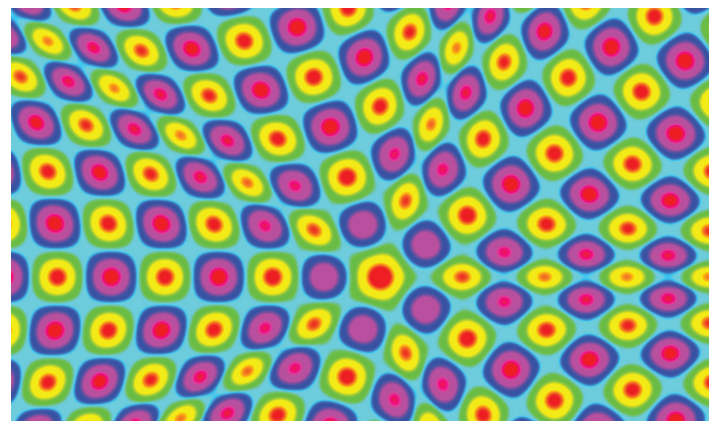
AG Campen, Yujin Tong
The picture shows the layout of our recently built SFG spectrometer in our new lab. With this 'workhorse', we can do a lot of fancy experiments, i.e. measuring molecular level structures and femtosecond dynamics at various interfaces.



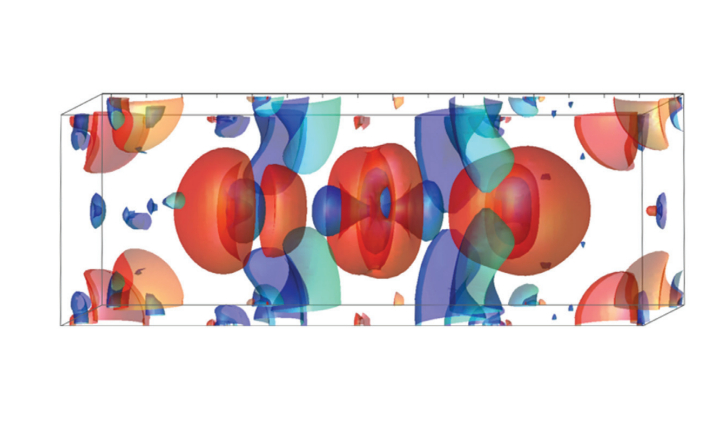
AG Schleberger, Dave Marnold, Erik Pollmann
Rasterkraftmikroskopie an einer „Pyramiden-Landschaft“, bestehend aus atomar dünnen und dreieckigen Wolframdisulfid Schichten, abgeschieden auf Saphir.



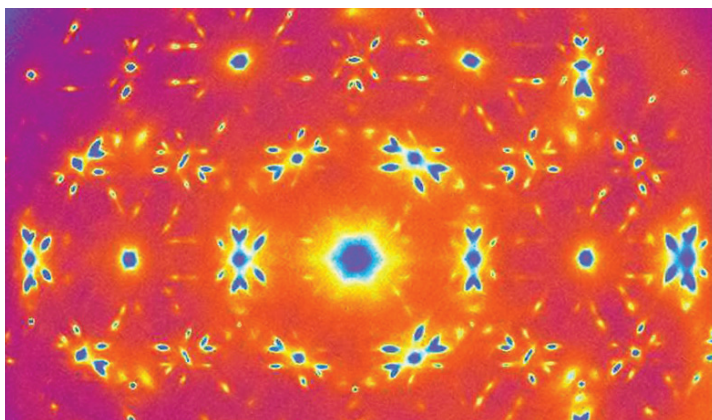
AG König, Eric Kleinherbers
Two double quantum dots coupled by Coulomb interaction host coherent charge oscillations that are synchronised in frequency and phase.



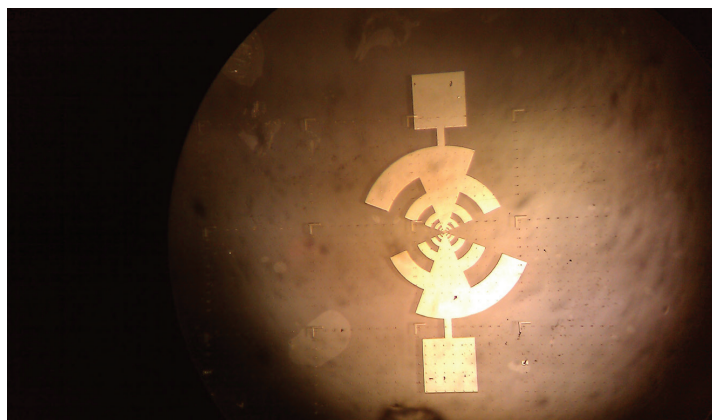
AG Schützhold/AG König, Nikodem Szpak
Negative Krümmung, simuliert in einem analogen Modell eines optischen Gitters mit einer zentralen Pentagon-Disklination.



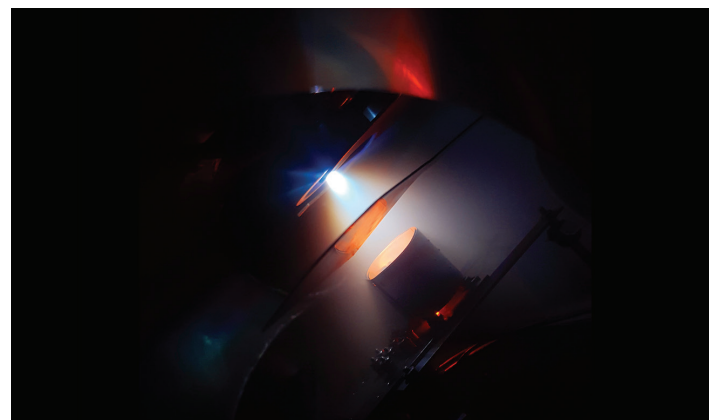
AG Pentcheva, Elaheh Shomali, Markus Gruner
Electron density redistribution in a Fe₁/(MgO)₃(001) heterostructure upon a fs-laser excitation with a photon energy of 7.75 eV after 20 fs, simulated using real-time time-dependent density functional theory.



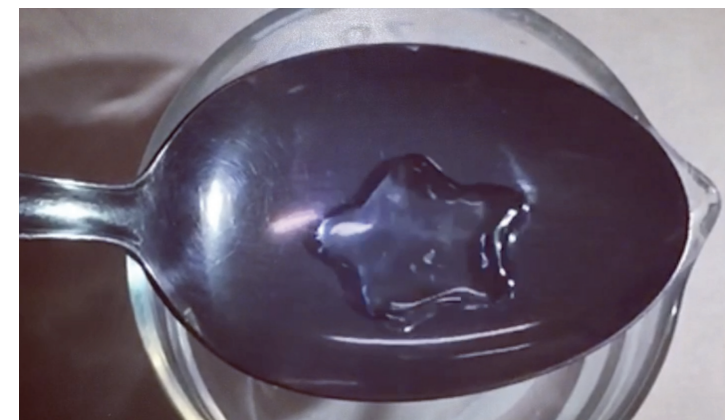
AG Horn-von Hoegen, Christian Wiethoff, Michael Horn-von Hoegen
“Dance around Center Spot” – STM image of an ordered surface alloy of Gold and Silver atoms on Si(111) creating a still unresolved reconstruction.



AG-Mittendorff, Martin Mittendorff
Graphene-based THz detector: the logarithmic-periodic antenna couples the THz radiation to a micrometer-sized graphene flake that is in the center of the antenna. The antenna with a diameter of 1 mm is patterned by electron-beam lithography, the substrate is semi-intrinsic SiC.



AG Wende, Soma Salamon
View into a UHV chamber used for pulsed laser deposition. An invisible 248 nm laser is hitting a rotating SrTiO₃ target, causing heated material to be ejected with a visible, bluish plasma plume, used to deposit thin films onto a heated substrate. The red hot surface of the substrate heater at 700 °C is visible in the center, reflected on the back of the open shutter.



AG Lorke/TPÖ, Axel Lorke, Nicolas Wöhrl
Ein Wasserstropfen nimmt auf einem heißen Löffel eine ungewöhnliche Form an. Dieses Analogieexperiment aus dem TPÖ zeigt, wie Materie ungewöhnliche dynamische Zustände einnehmen kann, wenn sie sich weit weg vom Gleichgewicht befindet. Der ursächliche Grund für den ungewöhnlichen „Wasserstern“ liegt im Leidenfrost-Effekt.